

#### IV - Leis de conservação em electrodinâmica

##### 1. Conservação local da carga eléctrica

A correcção de Maxwell à lei de Ampère é feita de forma a garantir a conservação local de carga. Por outras palavras, a coerência formal das equações de Maxwell exige que a carga seja localmente conservada. Com efeito:

$$\nabla \times \vec{B} = \mu_0 \vec{J} + \mu_0 \epsilon_0 \frac{\partial \vec{E}}{\partial t} \Rightarrow$$

$$\Rightarrow \nabla \cdot (\nabla \times \vec{B}) = \mu_0 \left[ \nabla \cdot \vec{J} + \epsilon_0 \nabla \cdot \frac{\partial \vec{E}}{\partial t} \right] = 0$$

$$= \mu_0 \left[ \nabla \cdot \vec{J} + \frac{d\rho}{dt} \right] = 0$$

A lei de Maxwell-Ampère impõe a validade das equações de continuidade.

##### 2. Conservação de energia: o Teorema de Poynting-Heaviside:

###### 2.1. Energia de uma configuração de carga numa aproximação quasi-estática:

Consideremos a energia de uma configuração estática de cargas pontuais:

$$W = \frac{1}{4\pi\epsilon_0} \sum_{i=1}^N \sum_{j \neq i} \frac{q_i q_j}{r_{ij}} \cdot \frac{1}{2}$$

$$W = \frac{1}{2} \sum_i q_i \left[ \sum_{j \neq i} \frac{1}{4\pi\epsilon_0} \frac{q_j}{r_{ij}} \right] = \frac{1}{2} \sum_{i=1}^N q_i V(\vec{r}_i)$$

Evidentemente que, para uma distribuição contínua de carga  $\Delta q_i = \rho(\vec{r}) d\vec{r}$  :

$$W = \frac{1}{2} \int_V \rho(\vec{r}) \cdot V(\vec{r}) d\vec{r}$$

Podemos exprimir isto em termos do campo.

Num meio material linear, é útil considerar a energia associada às <sup>densidade de</sup> cargas livres. Assim,

$$\nabla \cdot \vec{D} = \rho_L \rightarrow W = \frac{1}{2} \int_V \nabla \cdot \vec{D} V(\vec{r}) d\vec{r}$$

Mas

$$\nabla \cdot (\nabla V) = \nabla \cdot (\nabla \cdot \vec{D}) + \vec{D} \cdot (\nabla V)$$

Logo:

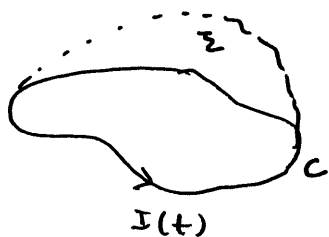
$$\begin{aligned} W &= \frac{1}{2} \int_V \left[ \nabla \cdot (\nabla V \vec{D}) - \vec{D} \cdot (\nabla V) \right] d\vec{r} \\ &= \frac{1}{2} \left[ \int_{\Sigma} V(\vec{r}) \vec{D} \cdot \hat{n} d\Sigma + \int_V \vec{D} \cdot \vec{E} d\vec{r} \right] \end{aligned}$$

Para um meio material infinito extenso, podemos ignorar a contribuições do primeiro termo (de superfície) para a densidade local de energia. Podemos assim definir uma densidade volumétrica de energia eléctrica como:

$$w = \frac{1}{2} \vec{D} \cdot \vec{E} \quad : \quad W = \int_V w(\vec{r}) d\vec{r}$$

## 2.2 - Energia de uma configuração estacionária de correntes:

Consideremos um loop de corrente  $I(t)$  (ver fig.)



Seja  $-\mathcal{E}$  ( $\mathcal{E} \equiv$  força eletromotriz)

o trabalho necessário para que uma carga unitária dê uma volta ao circuito.

A energia despendida por unidade de tempo é:

$$\frac{dW}{dt} = -\mathcal{E} I$$

Mas:

$$\mathcal{E} = -L \frac{dI}{dt} \quad (L = \text{coeficiente de auto-indução do circuito})$$

$$\frac{dW}{dt} = L I \frac{dI}{dt}$$

Logo

$$W = \int_0^I L I' dI' = \frac{1}{2} L I^2$$

$$\text{Por outro lado, } \mathcal{E} = -\frac{d\phi}{dt} = -\frac{d}{dt} \int_{\Sigma} \vec{B} \cdot \hat{n} d\Sigma =$$

$$= -\frac{d}{dt} \int_{\Sigma} (\nabla \wedge \vec{A}) \cdot \hat{n} d\Sigma \quad \text{e}$$

$$\phi = \int_{\Sigma} (\nabla \wedge \vec{A}) \cdot \hat{n} d\Sigma = \oint_C \vec{A} \cdot d\vec{\ell} = L I$$

$$W = \frac{1}{2} L I^2 = \frac{1}{2} I \oint_C \vec{A} \cdot d\vec{\ell} = \frac{1}{2} \oint_C \vec{A} \cdot I d\vec{\ell}$$

$$W = \frac{1}{2} \oint \vec{A} \cdot \vec{I} \, d\ell$$

Evidentemente, para uma distribuição contínua de correntes:

$$W = \frac{1}{2} \int_V (\vec{A} \cdot \vec{j}) \, d\vec{r}$$

Podemos expressar esta energia à custa do campo.

Novamente, é útil expressar a energia em termos do corrente de campo livre  $\vec{j}_f$ :

$$\nabla \wedge \vec{H} = \vec{j}_f + \frac{\partial \vec{D}}{\partial t}$$

Numa aproximação quase-estática podemos ignorar a contribuição do corrente de deslocamento. Então,

$$\vec{j}_f = \nabla \wedge \vec{H} \quad e:$$

$$W = \frac{1}{2} \int_V \vec{A} \cdot (\nabla \wedge \vec{H}) \, d\vec{r}$$

$$\text{Mas, } \nabla \cdot (\vec{A} \wedge \vec{H}) = \vec{H} \cdot (\nabla \wedge \vec{A}) - \vec{A} \cdot (\nabla \wedge \vec{H}); \text{ então:}$$

$$W = \frac{1}{2} \int_V \left[ \vec{H} \cdot (\nabla \wedge \vec{A}) - \nabla \cdot (\vec{A} \wedge \vec{H}) \right] d\vec{r}$$

$$= \frac{1}{2} \int_V \vec{H} \cdot \vec{B} \, d\vec{r} - \frac{1}{2} \int_{\Sigma} (\vec{A} \wedge \vec{H}) \cdot \hat{n} \, d\vec{\Sigma}$$

Logo:

$$W = \frac{1}{2} \int_V \vec{H} \cdot \vec{B} \, d\vec{r}$$

↓

densidade de energia magnetostática.

↓  
o (sistemas  
extensão  
( $\Sigma \rightarrow \infty$ )

### Observação:

Repare que  $(\vec{H}, \vec{B})$  e  $(\vec{D}, \vec{E})$  são grandezas conjugadas no sentido em que o seu produto tem as dimensões de uma (densidade) de energia. Evidentemente,  $\vec{D}$  e  $\vec{B}$  são grandezas extensivas.

### Observação:

Os resultados anteriores são gerais para sistemas quasi-estáticos. Se o meio material que consideramos for neutro, então

$$w = \frac{1}{2} \epsilon E^2 + \frac{1}{2\mu} B^2$$

a densidade de energia pode ser expressa só em termos dos campos  $\vec{E}$  e  $\vec{B}$ .

## 2.3- O Teorema de Poynting - Heaviside

Tentemos expressar a energia associada aos campos eléctricos e magnéticos (ou às cargas e correntes que lhe dão origem) de uma forma mais geral

O trabalho realizado sobre uma carga pontual  $q$  que se desloca de  $\vec{r}$ :

$$\begin{aligned} dW &= \vec{F} \cdot d\vec{r} = q [\vec{E} + \vec{v} \times \vec{B}] \cdot \vec{v} dt \\ &= q \vec{E} \cdot \vec{v} dt \end{aligned}$$

Para uma distribuição contínua de cargas e correntes:  
 $(q = \rho d\vec{r} ; \rho \vec{v} = \vec{j}) :$

$$dW = (\rho d\vec{r}) \cdot \vec{E} \cdot \vec{v} dt = \vec{E} \cdot \vec{j} d\vec{r} dt$$

$$\frac{dW}{dt} = \int_V (\vec{E} \cdot \vec{j}) d\vec{r}$$

Usamos agora a lei de Ampère-Maxwell com um meio material:

$$\nabla \wedge \vec{H} = \vec{j}_f + \frac{\partial \vec{D}}{\partial t}$$

Para expressar este termo de realizações de trabalho associado  
 as correntes livres  $\vec{j}_f$  :

$$\vec{j}_f = \nabla \wedge \vec{H} - \frac{\partial \vec{D}}{\partial t}$$

$$\frac{dW}{dt} = \int_V \left[ \vec{E} \cdot (\nabla \wedge \vec{H}) - \vec{E} \cdot \frac{\partial \vec{D}}{\partial t} \right] d\vec{r}$$

Mas:

$$\nabla \cdot (\vec{E} \wedge \vec{H}) = \vec{H} \cdot (\nabla \wedge \vec{E}) - \vec{E} \cdot (\nabla \wedge \vec{H}) \Rightarrow$$

$$\Rightarrow \vec{E} \cdot (\nabla \wedge \vec{H}) = \vec{H} \cdot (\nabla \wedge \vec{E}) - \nabla \cdot (\vec{E} \wedge \vec{H})$$

Logo:

$$\frac{dW}{dt} = \int_V \left[ -\vec{H} \cdot \frac{\partial \vec{E}}{\partial t} - \vec{E} \cdot \frac{\partial \vec{D}}{\partial t} \right] - \int_{\vec{Z}} (\vec{E} \wedge \vec{H}) \cdot \vec{n} d\vec{Z}$$

(usamos  $\nabla \wedge \vec{E} = -\frac{\partial \vec{B}}{\partial t}$  e o teorema de Gauss)

O trabalho total realizado por unidade de tempo sobre as cargas livres é igual à diminuição de energia armazenada nos campos por unidade de tempo, mais a energia que flui para o sistema através da sua fronteira  $\Sigma$ . [Teorema de Poynting - Heaviside].

Evidentemente, se o meio linear for neutro (e isotrópico, por simplicidade), então  $\vec{B} = \mu \vec{H}$  e  $\vec{D} = \epsilon \vec{E}$ .

Neste caso:

$$\begin{aligned} \frac{dW}{dt} &= - \int_V \left[ \frac{1}{\mu} \vec{B} \cdot \frac{d\vec{B}}{dt} + \epsilon \vec{E} \cdot \frac{d\vec{E}}{dt} \right] - \frac{1}{\mu} \int_{\Sigma} (\vec{E} \wedge \vec{B}) \cdot \hat{n} d\Sigma \\ &= - \frac{d}{dt} \int_V \frac{1}{2} \left( \epsilon E^2 + \frac{1}{\mu} B^2 \right) d\vec{r} - \int \frac{1}{\mu} (\vec{E} \wedge \vec{B}) \cdot \hat{n} d\Sigma \end{aligned}$$

$$u_{\text{em}} = \frac{1}{2} \left[ \epsilon E^2 + \frac{1}{\mu} B^2 \right] \quad ; \quad \vec{S} = \frac{1}{\mu} [\vec{E} \wedge \vec{B}]$$

(densidade de fluxo de energia por unidade de tempo.)



Vetor de Poynting.

Este teorema exprime a conservação local de energia.

Vejamos um pouco melhor este ponto

$$\frac{dW}{dt} = - \frac{dU_{em}}{dt} - \int_{\Sigma} \vec{S} \cdot d\vec{\Sigma}$$

$\downarrow$   
 Trabalho realizado  
 sobre as cargas livres  
 do sistema em  $dt$

$\searrow$   
 Variação do energia  
 electromagnética em  $dt$

$\rightarrow$  fluxo de energia  
 por unidade de tempo  
 impulsionado no sistema

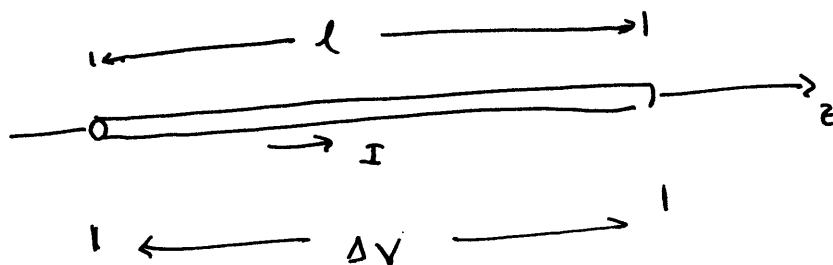
No seu forma diferencial:

$$\frac{d}{dt} (u_{mec.} + u_{em}) = - \nabla \cdot \vec{S}$$

Alguns exemplos simples:

Exemplo 8.1 (Griffiths)

Trabalho realizado (por forças externas) para transportar  
 corrente num fio:

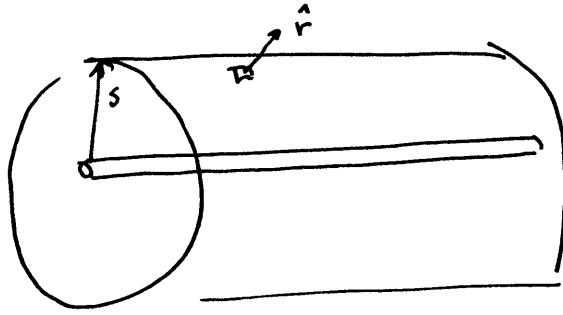


$$\vec{E} = \frac{V}{l} \hat{z} \quad ; \quad \vec{B} = \frac{\mu_0 I}{2\pi s} \hat{\phi}$$

$$\vec{S} = \frac{1}{\mu_0} \frac{V}{l} \frac{\mu_0 I}{2\pi s} (\hat{z} \wedge \hat{\phi})$$

$$= - \frac{VI}{2\pi l s} \hat{r} \quad (\text{oposto radialmente ao direcção do fio})$$



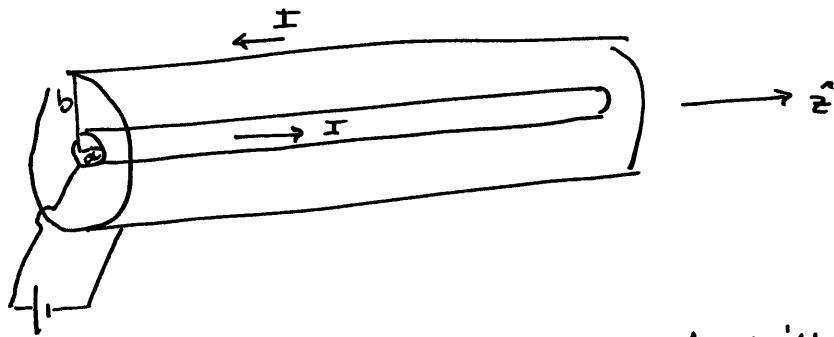


A energia que tem de atravessar a superfície cilíndrica de raio  $s$  por unidade de tempo para sustentar a corrente  $i$ :

$$\int_{\Sigma} \vec{S} \cdot \vec{n} d\Sigma = - \frac{VI}{2\pi l s} \cdot 2\pi s l = VI$$

(corresponde à potência dissipada no fio!).

Problema 8.1 (Griffiths): (cabo co-axial)



$\vec{B} \equiv$  só  $\neq 0$  entre cilindros; Lei de Ampère:  $\vec{B} = \frac{\mu_0 I}{2\pi s} \hat{\phi}$

Campo elétrico entre cilindros?

$$\nabla^2 V = 0 = \frac{1}{s} \frac{\partial}{\partial s} \left( s \frac{\partial V}{\partial s} \right) + \frac{1}{s^2} \frac{\partial^2}{\partial \phi^2} + \frac{\partial^2}{\partial z^2}$$

Par symétrie  $V \equiv V(s)$  ; alors :

$$\frac{1}{s} \frac{\partial}{\partial s} \left( s \frac{\partial V}{\partial s} \right) = 0 \Rightarrow$$

$$\Rightarrow \frac{\partial V}{\partial s} = \frac{C_1}{s}$$

$$V(s) = C_1 \ln s + C_2 \Rightarrow$$

cond.  $\Rightarrow V = C_1 \ln \left( \frac{a}{b} \right) \Rightarrow$   
frontières

$$\Rightarrow C_1 = V \ln \left( \frac{b}{a} \right)$$

$$V(s) = V \ln \left( \frac{b}{a} \right) \ln s$$

$$\vec{E} = -\nabla V(s) = -\frac{\partial V(s)}{\partial s} \hat{s}$$

$$\boxed{\vec{E} = V \ln \left( \frac{a}{b} \right) \frac{1}{s} \hat{s}}$$

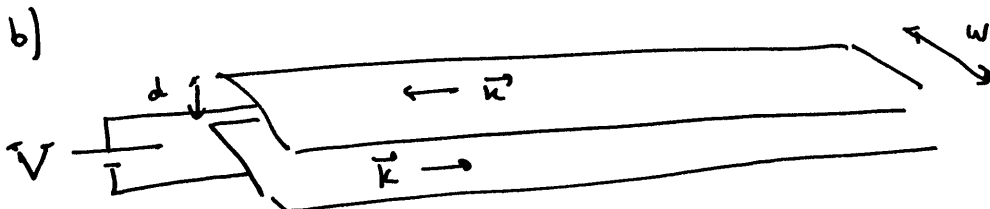
$$\vec{S} = \frac{1}{\mu_0} (\vec{E} \wedge \vec{B}) = \frac{1}{\mu_0} V \ln \left( \frac{a}{b} \right) \frac{1}{s} \frac{\cancel{\mu_0} I}{2\pi s} (\hat{s} \wedge \hat{e}_\phi)$$

$$= V I \cdot \frac{\ln \left( \frac{a}{b} \right)}{2\pi s^2} \hat{z}$$

Potential des dipôles :

$$P = \int_{\Sigma} \vec{S} \cdot \hat{n} d\Sigma = \int_a^b 2\pi s ds \cdot \frac{V I \ln \left( \frac{a}{b} \right)}{2\pi s^2}$$

$$P = VI \ln \frac{a}{b} \int_a^b \frac{dS}{S} = VI \quad \square$$



Dois condutores planares muito próximos ( $d \ll w$ ) transportam uma corrente superficial  $I = kw$

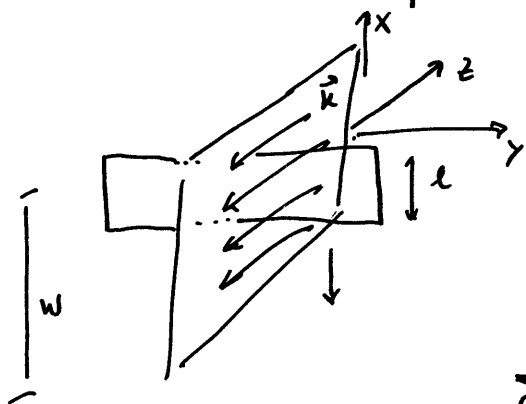
Campo eléctrico entre placas:

$$\nabla^2 V = 0 \rightarrow \frac{\partial^2 V}{\partial z^2} = 0 \rightarrow V(z) = C_1 z + C_2$$

$$V(w) = V = C_1 w \rightarrow C_1 = \frac{V}{w} \rightarrow V = \frac{V}{w} z$$

$$\boxed{\vec{E} = -\frac{V}{d} \hat{y}} \quad (\text{ver figura abaixo})$$

Campo magnético entre placas:



$$2Bl = \mu_0 I \frac{l}{w}$$

2 folhas:

$$B = \frac{\mu_0 I}{w} \hat{x}$$

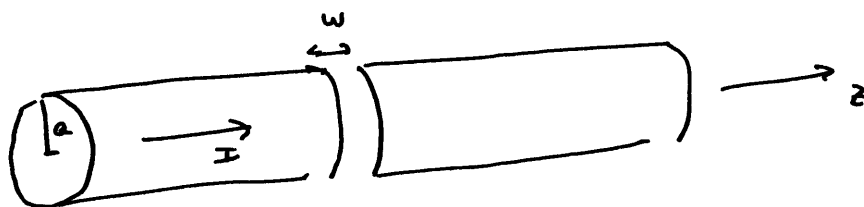
$$\vec{S} = \frac{1}{\mu_0} \vec{E} \wedge \vec{B} = -\frac{V}{\mu_0 d} \hat{y} \wedge \frac{\mu_0 I}{w} \hat{x}$$

$$= + \frac{VI}{wd} \hat{z}$$

$$\int \vec{S} \cdot \hat{n} d\vec{\Sigma} = VI$$

□

Problema 3.2 (Griffiths)



Um cilindro <sup>de raio  $a$</sup>  infinito tem uma descontinuidade (hiato) de comprimento  $w$ , e transporta uma corrente constante  $I$  uniformemente distribuída sobre a secção transversal

- Calcule os campos eléctrico e magnético no hiato como funções da distância ao eixo de simetria.
- Calcule a densidade de energia electromagnética e o vector de Poynting no hiato. Verifique que a equação de continuidade é verificada.

Soluções:

$$\vec{E} = \frac{\sigma}{\epsilon_0} \hat{z} \quad ; \quad \sigma = \frac{Q(t)}{\pi a^2} = \frac{I t}{\pi a^2} \Rightarrow \vec{E} = \frac{I t}{\pi a^2 \epsilon_0} \hat{z}$$

$$\vec{B} = ?$$

$$\cancel{2\pi} B(s) = \mu_0 \epsilon_0 \frac{\partial \vec{E}}{\partial t} \cancel{1/s^2}$$

$$B(s) = \frac{\mu_0 \epsilon_0}{2\pi} s \frac{\partial \vec{E}}{\partial t} = \frac{\mu_0 \epsilon_0}{2} \frac{I}{\pi a^2 \epsilon_0}$$

$$\vec{B}(s) = \frac{\mu_0 \cancel{2\pi} s I}{2\pi a^2 \cancel{\epsilon_0}} \hat{e}_\phi = \frac{\mu_0 I}{2\pi a^2} s \hat{e}_\phi$$

$$b) \quad \vec{S} = \frac{1}{\mu_0} (\vec{E} \wedge \vec{B}) = \frac{1}{\cancel{\mu_0}} \left[ \frac{I t}{\pi a^2 \epsilon_0} \cdot \cancel{\frac{\mu_0 I}{2\pi a^2}} s (\hat{z} \wedge \hat{e}_\phi) \right]$$

$$\boxed{\vec{S} = - \frac{I^2 t}{2\pi^2 a^4 \epsilon_0} s \hat{e}_r}$$

$$u_{em} = \frac{1}{2} \left[ \epsilon_0 E^2 + \frac{1}{\mu_0} B^2 \right] = \frac{1}{2} \left[ \cancel{\epsilon_0} \frac{I^2 t^2}{\pi^2 a^4 \epsilon_0^2} + \frac{1}{\cancel{\mu_0}} \frac{\cancel{\mu_0^2} t^2}{4\pi^2 a^4} s^2 \right] =$$

$$= \frac{1}{2} \frac{I^2 \mu_0}{\pi^2 a^4} \left[ (ct)^2 + \left(\frac{s}{2}\right)^2 \right] \quad (\text{using } \epsilon_0 \mu_0 c^2 = 1)$$

$$\frac{\partial u_{em}}{\partial t} = \frac{\mu_0 I^2 c^2 t}{\pi^2 a^4} = \frac{I^2 t}{\pi^2 a^4 \epsilon_0}$$

$$- \nabla \cdot \vec{S} = \frac{1}{s} \partial_s \left( s \cdot \frac{I^2 t}{2\pi^2 a^4 \epsilon_0} s \right) = \frac{1}{\cancel{s}} \cancel{2} \frac{\cancel{2} I^2 t}{2\pi^2 a^4 \epsilon_0} =$$

$$= \frac{I^2 t}{\pi^2 a^4 \epsilon_0}$$

$$\left[ \frac{\partial u_{mec.}}{\partial t} = 0 \quad \text{no gap} \right]$$

Problema 8.9 <sup>(\*)</sup> (Griffiths):

Uma bobina muito longa (raio  $a$ ) com  $n$  espiras/comprimento, transporta uma corrente  $I_b$ . Uma espira circular de raio  $b \gg a$  (~~de comprimento muito~~ (co-axial). tem uma resistência  $R$

Quando a corrente no solenóide é proporcionalmente reduzida, observa-se o aparecimento de uma corrente  $I_e$  induzida na espira.

a) Calcule  $I_e$  como função de  $\frac{dI_b}{dt}$

b) Comprove que a potência necessária tem origem na bobina. (Calcule o vector de Poynting na região fora da bobina e verifique a eq. de continuidade de energia).

Soluções:

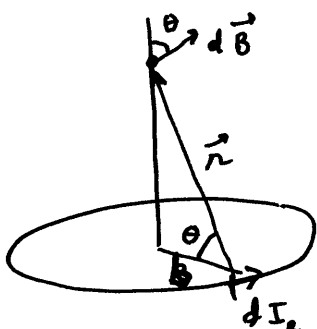
$$\begin{aligned} \text{a)} \quad \mathcal{E} &= - \frac{d\phi}{dt} = - \frac{d}{dt} [\pi a^2 B] \neq - \frac{d}{dt} [\pi a^2 \mu_0 n I_b] \equiv \\ &\equiv R I_e \quad \Rightarrow \quad I_e = - \frac{\pi a^2 \mu_0 n}{R} \frac{dI_b}{dt} \end{aligned}$$

$$\text{b)} \quad \mathcal{E} = \oint \vec{E} \cdot d\vec{\ell} = - \frac{d\phi}{dt} \quad \left( \text{imediatamente fora da bobina, } r = a^+ \right)$$

$$2\pi a E = - \mu_0 \pi a^2 n \frac{dI_b}{dt} \rightarrow \boxed{\vec{E} = - \frac{1}{2} \mu_0 a n \frac{dI_b}{dt} \hat{\phi}}$$

Nesta região (mesmo fora do solenóide  $r \sim a$ ) qual é o campo magnético?

O campo magnético resulta a soma de elementos que possuem espiras circulares de raio  $b$ . Como  $b \gg a$  podemos admitir que o campo é o mesmo no eixo da espira



$$d\vec{B} = \frac{\mu_0}{4\pi} \frac{\vec{I} \times \hat{r}}{r^2} dl = \frac{\mu_0 I}{4\pi} \frac{dl \sin \theta}{r^2} \hat{\phi}$$

$$B(z) = \frac{\mu_0 I}{4\pi} \int \frac{dl}{r^2} \sin \theta =$$

$$\boxed{\vec{B} = \frac{\mu_0 I}{2} \frac{b^2}{(b^2 + z^2)^{3/2}} \hat{z}}$$

Logo:

$$\vec{S} = \frac{1}{\mu_0} (\vec{E} \times \vec{B}) = -\frac{1}{2} a m \frac{dI_b}{dt} \cdot \frac{\mu_0 I_z}{2} \frac{b^2}{(b^2 + z^2)^{3/2}} (\hat{\phi} \times \hat{z})$$

$$= -\frac{1}{4} \mu_0 I_z \frac{dI_b}{dt} \frac{a b^2 m}{(b^2 + z^2)^{3/2}} \hat{r}$$

$$P = \int \vec{S} \cdot d\vec{z} = \int_{-\infty}^{+\infty} S' 2\pi a dz =$$

$$= -2\pi a \frac{1}{4} \mu_0 I_z \frac{dI_b}{dt} a b^2 m \underbrace{\int_{-\infty}^{+\infty} \frac{dz}{(b^2 + z^2)^{3/2}}}_{\frac{2}{b^2}}$$

$$P = - \underbrace{\pi \mu_0 a^2 n \frac{dI_b}{dt}}_{R I_c} I_c = R I_c^2$$

$$R I_c$$

(ver acima)

A potência necessária para sustentar a corrente no espiral provém do fluxo de campo gerado pela bobina!